

JNC TJ6622 97-001

~~JNC PJ6622 97-001~~

社内資料

本資料は / / 年 / 月 / 日付で登録区分
変更する。

人形磧環境技術センター
環境保全技術開発部 管理課

地下水中の原位置ラドン測定手法に関する研究

(動力炉・核燃料開発事業団 委託研究成果報告書)

1997年3月

岐阜大学教育学部

田 阪 茂 樹

目 次

要旨と Abstract	1
1. 序論	3
1・1 ラドン観測について	3
1・2 地下水中の原位置ラドン検出器の必要性について	4
2. 原位置水中ラドン検出器	5
2・1 ラドン検出器について	5
2・2 PINフォトダイオードの α 線検出原理	5
2・3 原位置水中ラドン検出器	7
2・4 機能性ガス分離膜	10
2・5 原位置水中ラドン検出器の防水について	11
3. 小型ラドンデータロガーの製作	13
3・1 小型ラドンデータロガーの概要	13
3・2 小型ラドンデータロガーの操作方法	15
3・3 小型ラドンデータロガーの消費電力	17
4. 岐阜大学水道水中のラドン測定	18
4・1 目的と方法	18
4・2 測定結果	19
4・3 ラドン濃度の校正係数	20
5. 地下水中の原位置ラドン濃度測定	21
5・1 実験目的	21
5・2 実験方法	21
5・3 実験結果	26
5・4 実験データ解析	30
6. まとめと今後の課題	36
7. 引用文献	38

地下水中の原位置ラドン測定手法に関する研究

岐阜大学教育学部
田阪 茂樹



要 旨

地下水中のラドンの挙動解析のために、地下水中の原位置ラドン測定装置の開発とその実用試験を行った。本測定装置は検出部とデータロガー部から構成されている。検出部は直径 60 mm、長さ 300 mmで、数 10 mの試錐孔に直接投入することができ、ラドンガスは開口部に装着されている機能性ガス分離膜を通過して検出部に導入され、PIN フォトダイオードを用いて静電捕集法で検出される。またデータロガー部は商用交流電源のない屋外でも、自動車用鉛蓄電池 4 個で約 60 日間の連続観測が可能で、観測終了後は押しボタンスイッチでパソコンにラドンデータを転送することができる。本装置の実用試験が、平成 8 年 12 月 17 日から動力炉・核燃料開発事業団人形崎事業所夜次露天採掘場跡地の No. 17 と No. 18 モニタリング試錐孔を用いて実施された。No. 17 は平成 9 年 1 月 29 日で終了して、No. 18 は約 8 ヶ月間にわたり現在も継続されている。これらの観測結果から次のような観測事実が判明した。

(1) 平成 8 年 12 月 17 日から平成 9 年 3 月 31 日の観測期間では冠雪と雪解けによる水中ラドン濃度の変動が顕著である。約 20 m離れた No. 18 と No. 17 試錐孔の、冠雪による水中ラドン濃度の変化の様子は大きく異なることが判明した。冠雪によって No. 18 試錐孔では水中ラドン濃度は約 10 倍の 50 (Bq/l) に急激に増加し、No. 17 試錐孔では水中ラドン濃度は約 10 分の 1 の 0.06 (Bq/l) まで減少した。

(2) 平成 9 年 4 月 1 日から平成 9 年 7 月 21 日の観測期間では、水中ラドン濃度は ^{222}Rn の崩壊曲線に従って減衰する時期と、降雨によって急に増加する時期が繰り返し観測された。No. 18 試錐孔においては、平成 9 年 5 月 21 日、5 月 27 日、6 月 6 日、6 月 28 日、7 月 8 日の降雨による水中ラドン濃度のはっきりした増加が 5 例観測された。そのうち、平成 9 年 6 月 28 日と 7 月 8 日の降雨において、日雨量によるラドン濃度増加率を求めてみると、約 1.5 [(Bq/m³) /mm] と測定された。

Studies on the in-suit method of the radon measurement in the underground water

Shigeki Tasaka

Faculty of Education, Gifu University

Abstract

The in-suit radon measurement system was developed for the continuous monitoring in the groundwater radon concentration of the deep well. This system consists of an underwater radon detector and a small-sized radon data logger. The underwater radon detector, with 60mm diameter and 300mm long, was put into the deep well at the depth of a couple of meter. A microporous flat sheet membran is attached to the window of the bottom. The membran of polypropylene with the hydrophobic properties passes through only the gas dissolved in the underground water. A PIN photodiode, an alpha particle detector, installed inside a detector attracts radon daughters when charged electrostatically. Alpha particles are separated from each other in accordance with the energy level. New logger has made it possible to analyze and save the radon data. Alpha particle count data from radon daughters are automatically integrated over preset time intervals and energy regions. We can get the 60 days continuous data logging at 60min sampling frequency at any well with the four batteries. The observed radon data was sent to PC by a push-button switch in logger at the end of experiment after two months. We have measured the continuous data of the groundwater radon concentration in the two monitoring wells, No.17 and No.18, at the NINGYO-TOGE WORKS, PNC. The observation in the No.17 well was operated during the period between 25, Dec. 1996 and 29, Jan. 1997. The observation in the No.18 well has been continuing now, during eight months from 17, Dec. 1996. The main experimental results are as follows.

- (1) The groundwater radon concentration was changed by the snowfall and snowmelt. The clear discrepancy of the concentration between the No.18 and No.17 of two wells at a distance of 20m was observed. The concentration of No.18 well was increased to be 50 (Bq/l), by ten times higher than that before snowfall. That of No.17 well was decreased to be 0.06 (Bq/l), by ten per cent before snowfall.
- (2) The groundwater radon concentration of No.18 well was suddenly increased by rain fall, and decreased in accordance with the ^{222}Rn decay curve. Five clear samples were observed at 21-May, 27-May, 6-Jun, 28-Jun and 8-July-1997. The increase rate of the radon concentration for rainfall was estimated to be about 15 [(Bq/m³) /mm] at 28-Jun and 8-July.

1. 序論

1・1 ラドン観測について

ラドンは20世紀初頭に発見されたウラン・ラジウム系列の放射性希ガスである。最近になって、様々な目的でラドン及びその娘核種の観測が実施されるようになってきた。ラドン ^{222}Rn は半減期3.8日で、水に溶けやすく、かつ水中での拡散速度が低いので地下水とともに移動する。この性質を地震発生のダイラタンシーモデル等と関連させて地震予知に役立てようと、地下水中ラドンの恒常的観測による研究も進められている(Wakita et al., 1980)。阪神大震災で大きな被害の出た兵庫県西宮市の井戸で、地震前に地下水のラドン濃度が急激に上昇して、通常の十倍以上にも達していたことが、われわれの開発した水中ラドン検出器を用いて観測された(Igarashi et al., 1995)。

また、宇宙線物理学の研究分野では、スーパー・カミオカンデのような太陽ニュートリノの観測を目的とした大型水チエレンコフ検出器において、純水中に溶けているラドンによるバックグランドが大きな問題になっている。そこで水中ラドンを観測しその除去に役立てるために、ラドン濃度の検出限界値が $0.01\text{Bq}/\text{m}^3$ の超高感度の水中ラドン検出器の開発が行われ、現在スーパー・カミオカンデ装置内に設置され、純水中のラドン濃度のリアルタイム連続観測を行っている(根本他, 1997)。

気象学的には気団やエアロゾルの動きを調べるため、ラドンをトレーサーとして利用しようという研究が行われており(Pereira, 1988)、新しく開発された超高感度ラドン検出器は、第37次南極地域観測において南極大陸の大気中の $0.01\text{Bq}/\text{m}^3$ 程度の極低ラドン濃度の観測を行っている。保健物理の分野でも、住居環境中において、エアロゾルに付着しているラドン娘核種を吸い込んだ人体への影響調査などに関連してラドン濃度の測定が行われている(黒澤, 1991)。また、ラドンの特性を利用した水循環機構や地下水の流動解析にも応用されている(小前, 1995)。

このようにラドン観測の目的が多様化し、計測の機会が増え、私たちの身近な生活環境や屋外などいろいろな条件下でラドンを観測するためには、大型の設備を必要としない小型で安価なラドン計測システムが必要になっている。現在使用されている計測システムは消費電力が数ワット以上必要であり、蓄電池での長期のラドン観測には向きである。そこで本研究では、持ち運びが容易で比較的手軽にラドンの観測ができる小型ラドンデータロガーの開発を行った。

1・2 地下水中の原位置ラドン検出器の必要性について

様々な場所においてラドン観測が進められている中で、動力炉・核燃料開発事業団人形峠事業所（以下動燃人形峠事業所）でも、捨石堆積場からの周辺への影響についてウラン、ラジウム、ラドン等の挙動調査を実施してきている。これは、昭和63年に動燃人形峠事業所による探鉱活動に伴う捨石から発生した、ラジウム、ラドンが地下水中に溶解して、地下水流动とともに方面川流域に流入して、下流の居住地区に影響を与えていているのではないかと社会問題化したためである。

現在、動燃人形峠事業所では、大気中のラドン観測、及び水中のラドン測定を行っている。この水中ラドン測定は年に数回、現地で水をサンプリングして事業所に持ち帰り液体シンチレーション法で測定するものである（古田, 1997）。

本研究では原位置で1年以上の長期間の連続観測をして、動燃人形峠事業所夜次露天採掘場跡地にある18ヵ所のモニタリング試錐孔のうちの2ヵ所を利用して、地下水中のラドン観測を行った。これらの試錐孔は口径が約65mmから100mmで深さが10mから30mであり、ここへ直接投入可能な直径60mm、長さ300mmの原位置水中ラドン検出器の開発を行った。

本研究では今まで別々に開発を行ってきた、小型ラドンデータロガーと水中ラドン検出器を組み合わせることにより、原位置水中ラドン測定装置の製作が可能となった。この原位置水中ラドン測定装置の開発は地質調査所地震地質部変動解析研究室の高橋誠氏と共に行われた。

2. 原位置水中ラドン検出器

2・1 ラドン検出器について

平成4年に、PINフォトダイオード(PD)を用いた静電捕集型のラドン検出器が開発された(田阪他,1992).この検出器は、ラドン²²²Rnの娘核種²¹⁸Po(RaA),²¹⁴Po(RaC')が崩壊するときに放出する α 線のエネルギーを, PDで捕えて, そのとき生成した電子を増幅器で電圧に変換して測定するというものである.第1図にウラン崩壊系列図を示す.

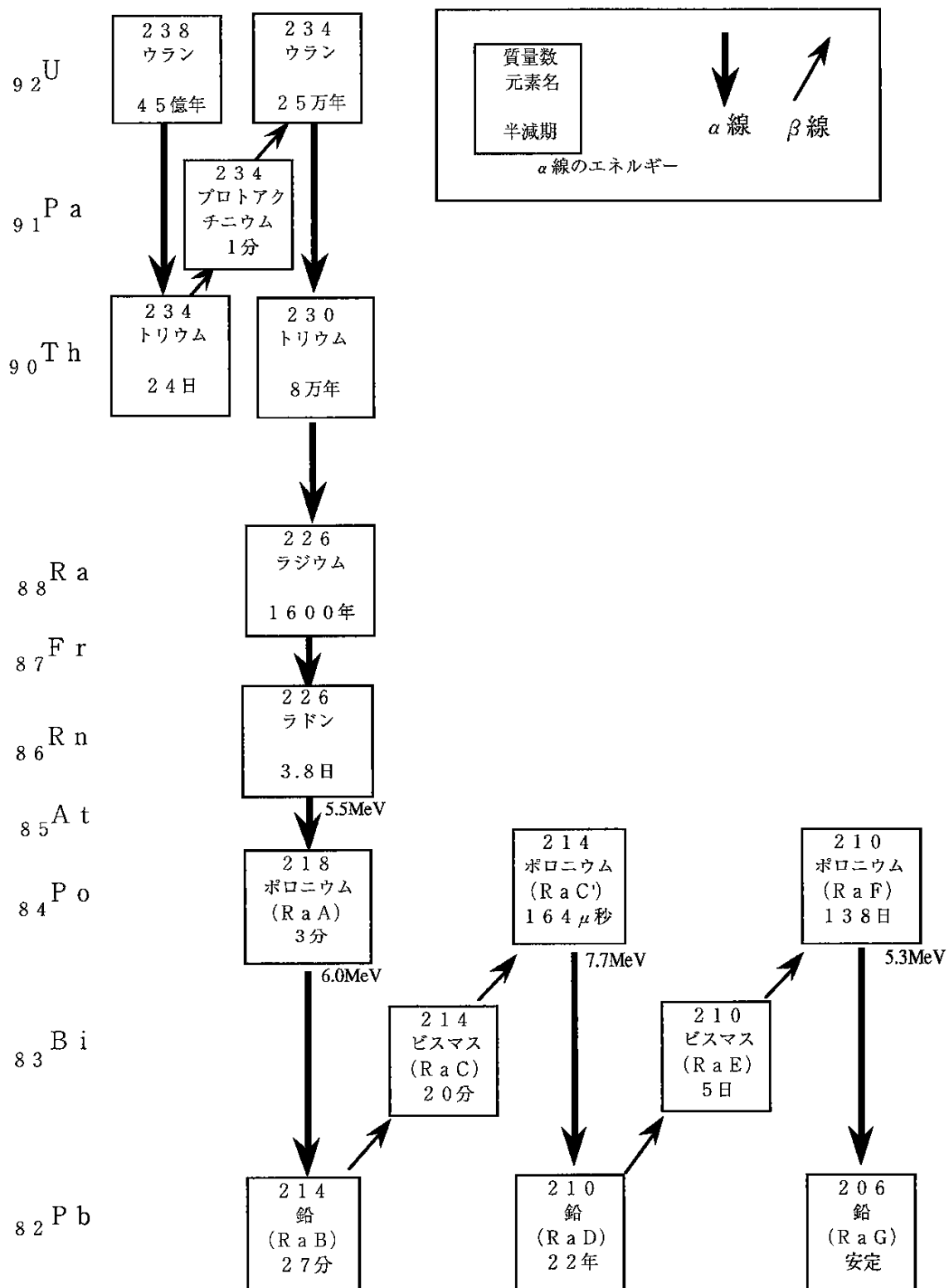
また, 平成6年に水中ラドン検出器が開発された(田阪他,1994).この検出器は, 上記のラドン検出器と, 水を通さずラドンガスを透過することができる機能性ガス分離膜を組み合わせたものである.この検出器を水中に沈めることによって, 水中のラドン濃度を測定することができる.本研究ではこのタイプの水中ラドン検出器の小型化の改良を行った.

2・2 PINフォトダイオードの α 線検出原理

自然放射性元素であるラドン²²²Rnは3.8日の半減期で放射線を出しながら娘核種へ壊変していく.静電捕集法を利用した上記のラドン検出器では, PD検出器の表面と容器の間に-120Vの電位差をかけて, 正に帯電しているラドン娘核種をPDの表面に捕集する.そして, そこで放出される α 線をエネルギー分解能40(k eV)の高精度で測定している.

PDとは, PN接合型半導体のp層とn層の間にi(intrinsic)層が存在するものである. PN接合型半導体において, p層とn層との接合部では, 電子・正孔対が生成され, この接合部には, キャリヤー(電子または正孔)の欠乏した空乏層と呼ばれる層ができる. PDでは, p層とn層の間のi層で電子・正孔対が生成される. PN接合型半導体との違いはこの電子・正孔対の発生領域が低不純物としている点である. i層にはキャリヤーが存在しない, つまりi層が存在することにより, 空乏層の領域は広がる.このPDに外部から, p側に負の, n側に正の逆バイアス電圧をかけることにより, キャリヤーはさらに移動し空乏層はさらに大きくなる.この空乏層はキャリヤーがほとんど存在しないため高い抵抗の領域となり, 電圧はほぼこの部分にかかることに

〈ウラン系列〉



第1図 ウラン崩壊系列の図

なる。

P D の表面に捕集されたラドン娘核種が放出した α 粒子が、この空乏層に入射した場合、飛跡の近くでは α 粒子の持つエネルギーによって空乏層中の原子間の結合の電子は電離され、電子の跡に正孔が生ずる。つまり、キャリヤーが生成され、 α 粒子の持つエネルギーはこれに使われる。1 個のキャリヤーを生成するために必要なエネルギーは半導体の種類によって決まっている。(ここで使用されるシリコン半導体はその値が 3.6 eV である。) これは、 α 粒子のエネルギーに比例した個数の電子・正孔が得られるということである。そして逆バイアス電圧による電界により、電子と正孔それが逆方向に引き寄せられる。電子は前置増幅回路に入力されてその数に比例した電圧値の信号パルスに変換された後、測定される。

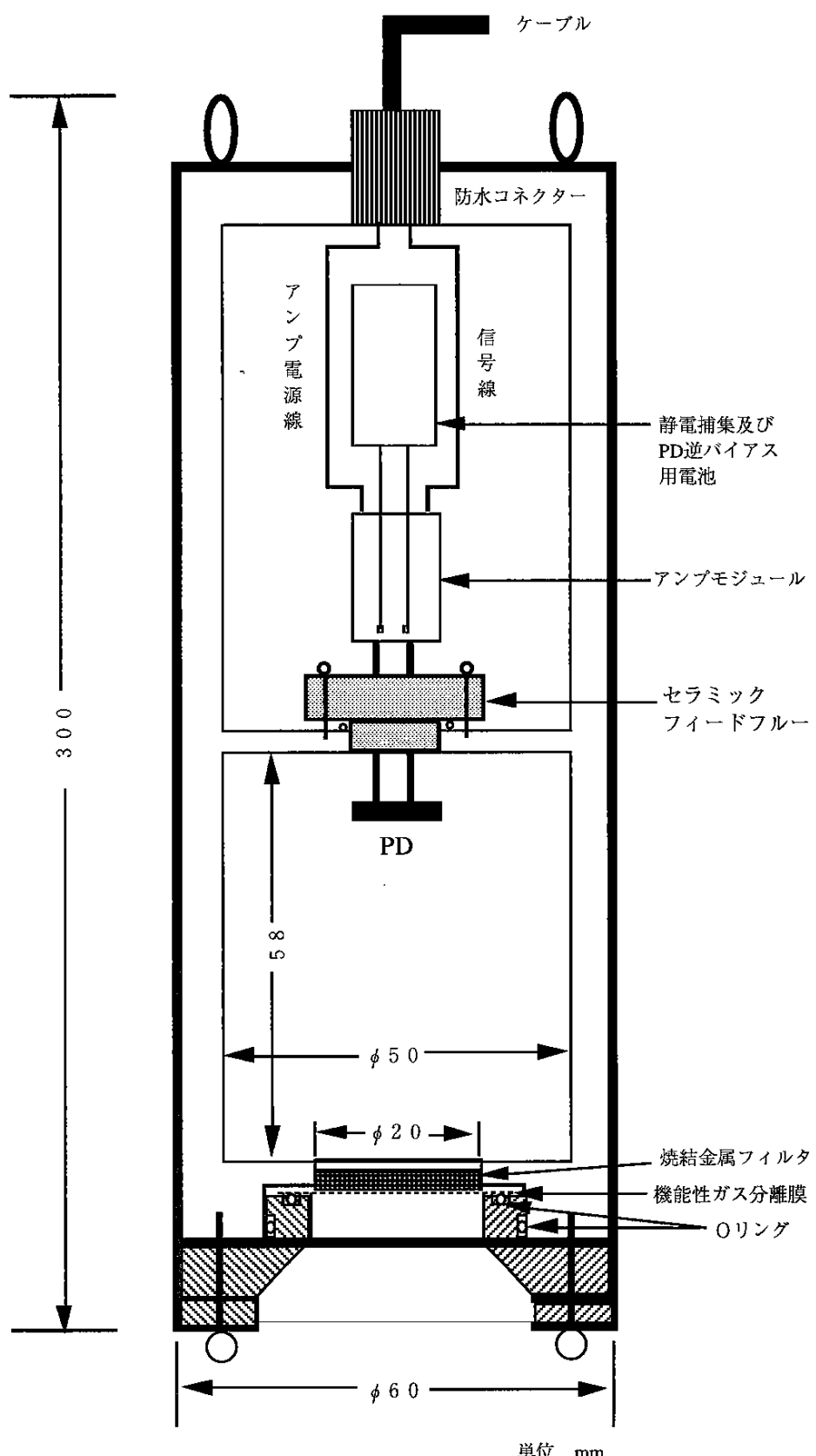
2・3 原位置水中ラドン検出器

今回製作したのは、従来のラドン検出器に機能性ガス分離膜を取り付け、水中に沈めた状態で水中ラドン濃度を測定することができるような水没型の小型水中ラドン検出器である。また、動燃人形峠事業所において地下水のラドン観測をするにあたって次のような条件を満たした検出器でなければいけない。

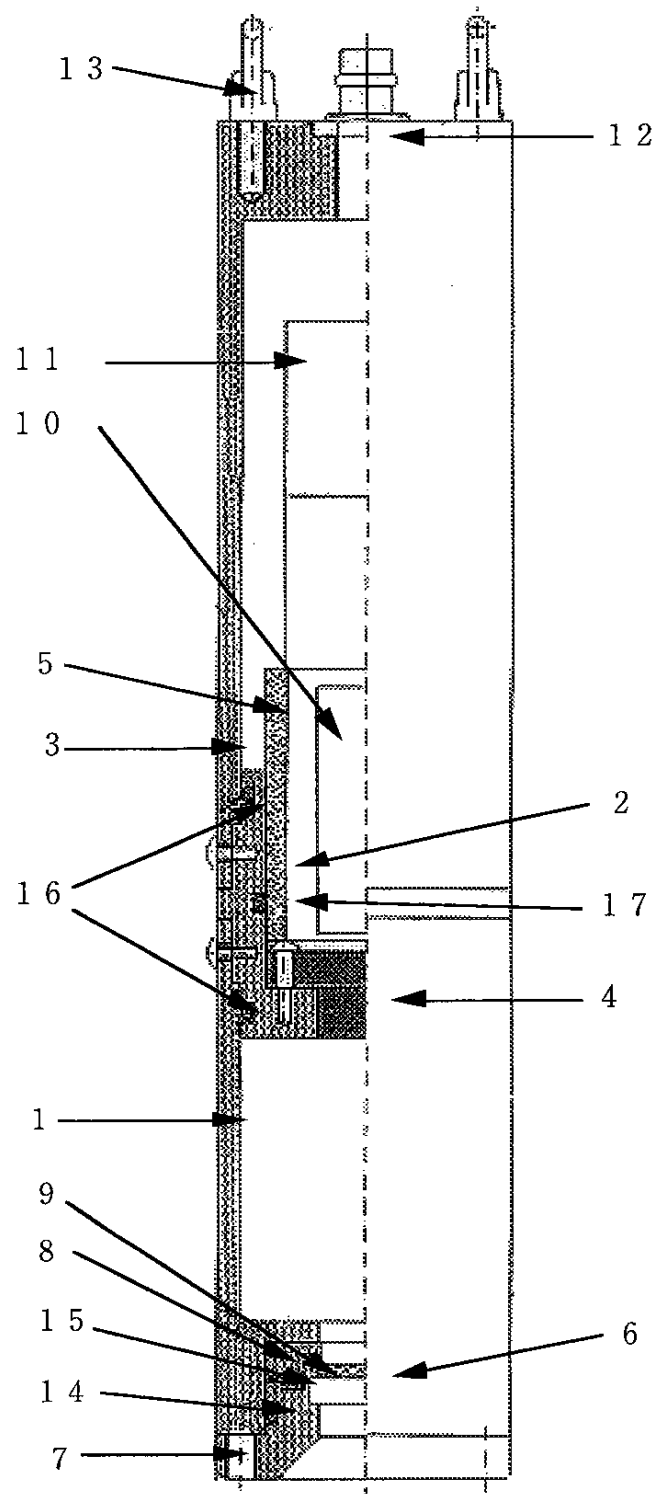
- (1) A C 電源等の設備の整っていない屋外で測定ができる。
- (2) 一ヶ月以上の長期間にわたって自動車用鉛蓄電池を使って連続測定ができる。
- (3) 持ち運びが容易にでき、口径 6.5 mm の井戸に投入可能である。

検出器は、ステンレス容器、P D、アンプモジュール、焼結金属フィルタ、防水コネクタ、機能性ガス分離膜、ケーブルリールより成る。また、P D は浜松フォトニクス(株) 製の、パシベーション付ペアーチップタイプの型番「S 3 5 9 0 - 0 6」である。検出面積は 9 × 9 mm、厚さ 500 μ m のものを使用した。容器の検出部の容積は 116 ml、容器の開口部の面積は 2.7 cm²、静電捕集電圧は -120 V である。ケーブルリールは深井戸に沈めるため 160 m の長さがある。第 2 図に深井戸用小型水中ラドン検出器の概略図を示す。第 3 図はその設計図である。

この水中ラドン検出器は深井戸内の地下水に沈めるため、水圧がかかることになる。さらに長期にわたって水没させるため、長期間機能膜に負担をかけ続けることになり、膜が損傷する恐れがある。これらによる機能性分離膜の損傷、および水漏れを防ぐために、焼結金属フィルタのサポート板を用いて補強した。焼結金属というのは、金属



第2図 小型水中ラドン検出器の概略図



番号	名称
1	本体a
2	本体b
3	本体c
4	センサホルダ
5	アンプカバー
6	焼結金属フィルタ
7	フタ
8	フィルタ押さえ
9	防水フィルム
10	ラドンセンサアンプ
11	積層形乾電池 120V
12	水中コネクタ
13	アイボルトM
14	Oリング G-40
15	Oリング G-45
16	Oリング G-45
17	Oリング G-35

第3図 小型水中ラドン検出器の設計図

粉末を圧縮成形し、溶融点以下の温度で焼固めたものである。網の目のようになっており、ラドンガスが通過する。今回使用した材質はステンレスである。焼結金属の規格表を第1表に示す。

成分	S U S 3 1 6
焼結体密度	4.3 ~ 5.0 (g/cm ³)
空隙率	37 ~ 43 (%)
使用温度	-250 ~ 550 (°C)
熱膨張係数	1.6×10^{-5}
抗張力	3 ~ 10 (kgf/m)
ろ過精度	100 (μm)
寸法	18Φ × 3t (mm)

第1表 焼結金属フィルターの規格表

2・4 機能性ガス分離膜

開口部には、水は通さずガスは通すという特性から、機能性ガス分離膜として、ヘキスト・インターナショナル東京（株）の「セルガード」というポリプロピレン製のフィルムを用いた。この「セルガード」には様々なグレードがあるが、ここではNo. 2400というものを使用した。第2表に「セルガード」No. 2400の規格表を示す。第4図は「セルガード」の顕微鏡写真である。

Properties	「CELGARD」2400
Film Thickness	25 (μm)
Density	0.56 (g/cm ³)
Maximum Hole Diameter	0.125×0.05 (μm)
Total Surface Area	50 (m ² /g)
Critical Surface Tension	35 (dyne/cm)
Water Initiation	40 (Kgf/cm ²)
Tensile Strength (mechanical direction)	1055 (Kgf/cm ²)
Tensile Strength (vertical direction)	84 (Kgf/cm ²)

第2表 機能性ガス分離膜「セルガード」No. 2400の規格表



第4図 「セルガード」の顕微鏡写真

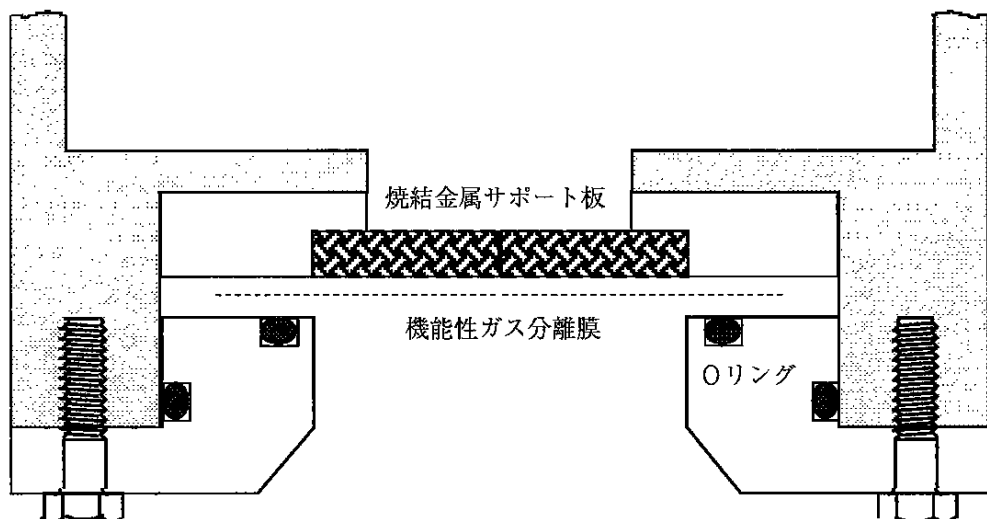
「セルガード」はガスの透過に対しては極めて敏感で、非常に小さい圧力下でも透過できることがわかっている。また、「セルガード」の臨界表面張力は 3.5 (dyne/cm) で、水の表面張力 72.8 (dyne/cm) の方が大きい。このためこの膜は水を通さない。

検出器を水中に沈めていくと水圧が高くなり、膜を隔てて容器内の気体圧と水圧との間に圧力差が生じる。この膜を水は透過できないので、水との圧力差に伴い検出器内の気体との間で蒸気圧に不balanceが生ずることになる。この結果、水中に溶解している気体分子（ラドンガス）は膜を透過して検出器に入り込み、平衡を保つために必要なある時間の後、膜を隔てた両者の圧力が等しくなる。つまり、水中において気体平衡の状態が成立すると考えられる。一定の圧力において水中に溶解している ^{222}Rn と、気体として存在する ^{222}Rn の比は一定であるから、この方法で水中のラドン濃度の変化に応じた測定ができるといえる。

2・5 原位置水中ラドン検出器の防水について

この深井戸用水中ラドン検出器は長時間地下水中に沈めて連続測定する。その際、開口部のあたりから水漏れがおこると、徐々に入ってきた水が機能膜を覆ってしまうため、水中のラドン濃度を正確に測定することができない。また、コネクタ部分からの水漏れがおこるとアンプなどの電気部分の故障の原因になる。従って、検出器の防水は測定に関して非常に重要である。

開口部の防水については、機能膜に「セルガード」を使用し、焼結金属のサポート板とOリングの間に機能膜をはさみ、蓋で押さえこんで固定した。コネクタ部分については水中コネクタを使用し完全に防水できている。第5図に小型水中ラドン検出器の開口部の防水についての概略図を示す。



第5図 小型水中ラドン検出器開口部の防水についての概略図

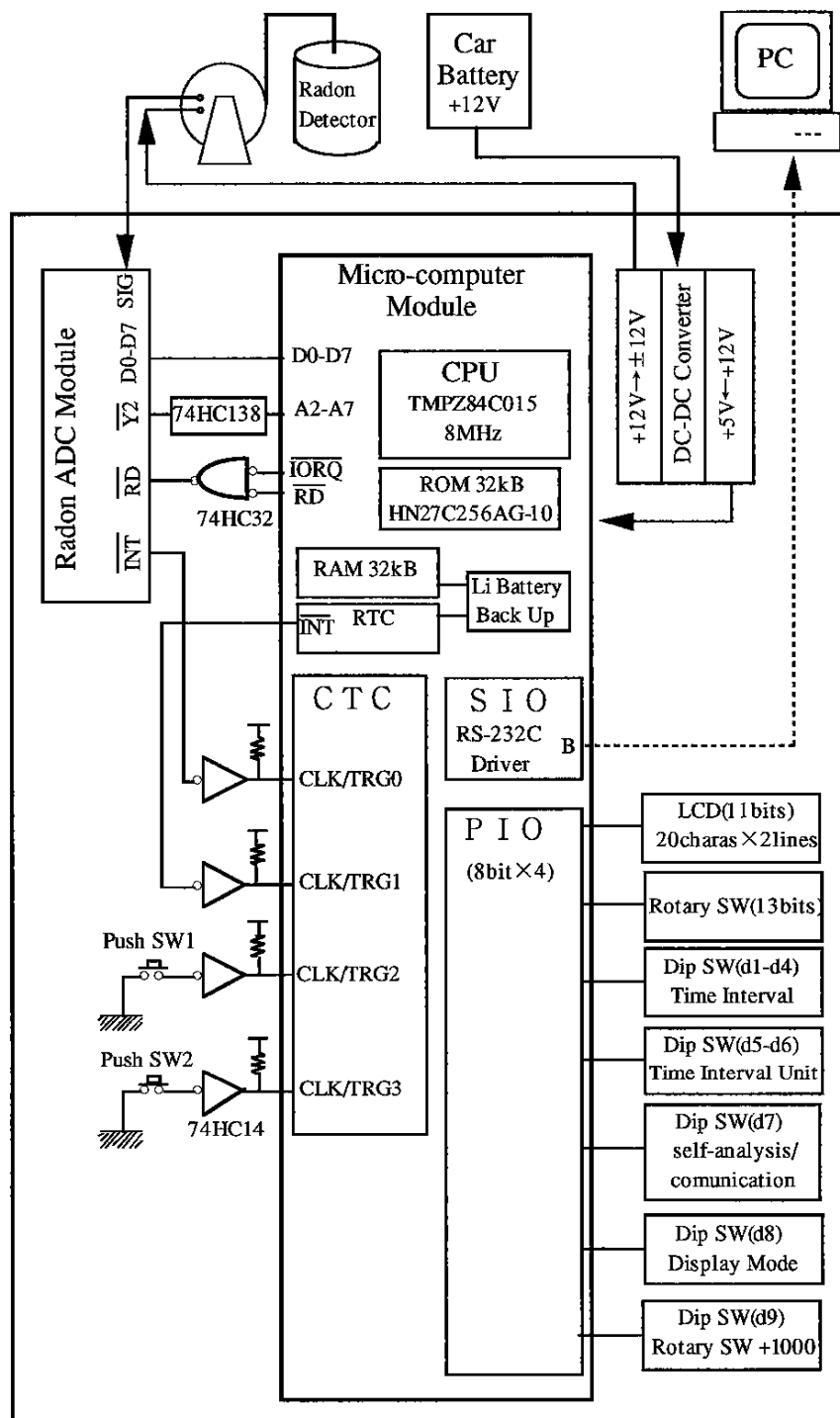
3. 小型ラドンデータロガーの製作

3・1 小型ラドンデータロガーの概要

従来のラドン計測システムでは、商用電源などの設備の整った場所でしか測定できない。平成8年に小型ラドンデータロガーが開発され、設備の整っていない屋外などいろいろな場所でのラドン観測が可能になった(田阪他,1996)。このシステムは従来のシステムを簡略化し、低消費電力で動かせる。よって、電源を自動車用鉛蓄電池(12V)より供給することができる。今回はこの小型ラドンデータロガーを、イビデン産業(株)で製品化し使用した。その規格表を第3表に示す。また、小型ラドンデータロガーのプロックダイアグラムを第6図に示す。

Analog Input	1channel, 50Ω impedance acceptable input voltage: 0~+1.24V peak voltage detect input signal risetime: 150 ns~5 μs
ADC resolution Frequency ADC trigger Interrupt signal	8bits maximum 10kHz internal trigger mode threshold setting: 10mV~600mV INT signal output
Sampling interval Recording memory	adjustable interval: 1/16s~150min 28.8kB RAM for maximum 1,440 sampling with a push switch to dump the data for PC
Display Display switch	LCD(20 char. × 2 lines) rotary switch: check the past data of 1,440 sampling display mode: ^{218}Po and ^{214}Po count mode or concentration mode
Supply voltage DC-DC converter Power consumption	+12V with the car battery +12V → +5V, +12V → ±12V, efficiency 60% +5V · 26mA +12V · 13mA, -12V · 10mA(amplifier for radon detector)
Size Weight	55(H) × 220(W) × 160(D)mm 800g

第3表 小型ラドンデータロガーの規格表



第6図 小型ラドンデータロガーのブロックダイアグラム

この小型ラドンデータロガーは、ラドン検出器によって変換された電圧パルスをラドン測定用8ビットAD変換モジュールが受け、ピークホールダー回路、コンパレータ回路を通し、遅延一発パルス発生回路を使ってAD変換する。ラドン信号の測定、データ処理、記憶を行い、測定終了時にデータをパソコンに送るというシステムになっている。

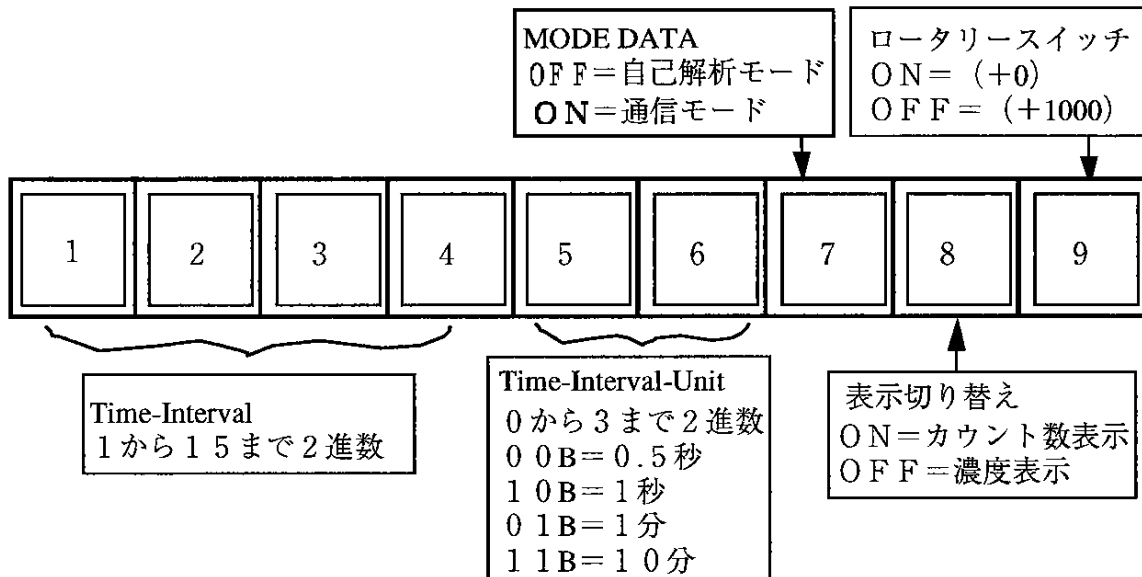
小型ラドンデータロガーの外形サイズは、55(H) × 200(W) × 160(D) mmであり、内部のマザーボードには、テレフォンカードの大きさのマイコンモジュール、ラドン測定用AD変換モジュールと2個のDC-DCコンバーターが装備されている。また、液晶表示、ディップスイッチ、ロータリースイッチ、押ボタンスイッチ、通信用コネクター、ラドン検出器用の電源コネクターと信号入力コネクターが装備されている。

3・2 小型ラドンデータロガーの操作方法

ロガーのリアーパネルには、「d1からd9」の9個のディップスイッチがある。これらのスイッチについて説明する。第7図にはディップスイッチの設定図を示す。

(1) 測定時間インターバルの設定

ディップスイッチ「d1からd6」を用いる。最初に「d5とd6」でインターバル基本単位を決める。例えば、10分単位だと2進数表記法で11Bとなる。ここで「1」=OFF、「0」=ONである。次に、「d1からd4」でインターバル定数を決める。こ



第7図 ディップスイッチの設定方法

の定数にインターバル基本単位を掛けた値が、実際の測定時間インターバルとなる。例えば、30分の測定時間インターバルだと、110011B（2進数）となる。最長の測定時間インターバルは150分で111111Bである。また、最小の測定時間インターバルは0.5秒で100000Bとなる。

（2）「自己解析」モードと「通信」モードの設定

両者の切り替えをディップスイッチ「d7」でおこなう。OFFにすると「自己解析」モード、OFFにすると「通信」モードになる。「自己解析」モードにおけるデータ取得は、測定継続中にパソコンを接続し、パソコン上でデータ受信プログラム「A S C I I 1 . E X E」を動作させておく。そして、レアーパネルの黄色の押しボタンスイッチ（Push SW1）を押すと、RAMに記憶されていた1440回分のデータがパソコンに転送される。[通信]モードのときは、常にロガーとパソコンは接続しておき、パソコン上で動作している「UME0.EXE」がロガーへコマンドを発信して、データを受信する。今回の研究では「自己解析」モードでロガーを使用した。

（3）表示切り替え設定

ディップスイッチ「d8」で表示切り替えを行う。ONにするとカウント表示、OFFにすると濃度表示になる。

（4）過去のデータ表示

P I Oに接続されたフロントパネルのロータリースイッチと緑色の押しボタンスイッチ（Push SW2）によって、メモリに記憶されている過去のデータを液晶表示に呼び出して見ることができる。3桁のロータリースイッチで呼び出したいデータが現在から何回前のものであるかをセットし、押しボタンスイッチを押すと過去のデータを見ることができる。過去のデータは液晶表示に日付の前に‘P’をつけて表示される。ロータリースイッチは3桁までしかないが、記憶されるデータは1440回分があるので、ロータリースイッチだけでは1000回以前のデータを見ることができない。そこで、ディップスイッチ「d9」を使って千の位を表わすことにした。ONにするとセットしたロータリースイッチの値に「1000」を加算することになる。

小型ラドンデータロガーが動作中でも、表示切り替え設定ディップスイッチ「d8」とロータリースイッチの加算値設定ディップスイッチ「d9」は、自由に変更することができる。

3・3 小型ラドンデータロガーの消費電力

CPU「TMPZ84C015」にはRUN・IDLE1・IDLE2・STOPの4種類のホールトモードがあり、ホールトモード設定レジスタによってこれらの内いずれかの動作モードを選択することができる。今回使用したIDLE2では、ホールト中は内臓CTCのみ動作してクロックは外部に供給される。IDLE2モードを設定することにより消費電流をRUNモードの半分以下に低減することができた。シリアルポートチャンネルBには、シャットダウンモードを備えたRS-232Cドライバが接続されており、このICをシャットダウンモードに設定することにより、消費電流をおよそ4mA減らすことができた。

自動車用バッテリーを使っての観測で問題になるのは、どの程度の期間連続して計測できるかということである。今回は12V×38Ahの容量のものを使用した。この小型ラドンデータロガー（「自己解析」モード）の消費電力を測定すると第4表のようになる。システムはマイコンモジュール、AD変換モジュール、DC-DCコンバータからなる。

自動車用バッテリーの電力量は456Whなので、第4表の消費電力で計算すると観測継続期間は約23日である。今回の実験では、バッテリーを4個並列につなぐことにより観測継続期間を約2ヵ月まで延長させた。

	電流 (mA)	電圧 (V)	電力 (mW)
システム	34.1	12	409.2
アンプモジュール	35.2	12	422.4
計	69.3	12	831.6

第4表 小型ラドンデータロガーの消費電力

4. 岐阜大学水道水中のラドン測定

4・1 目的と方法

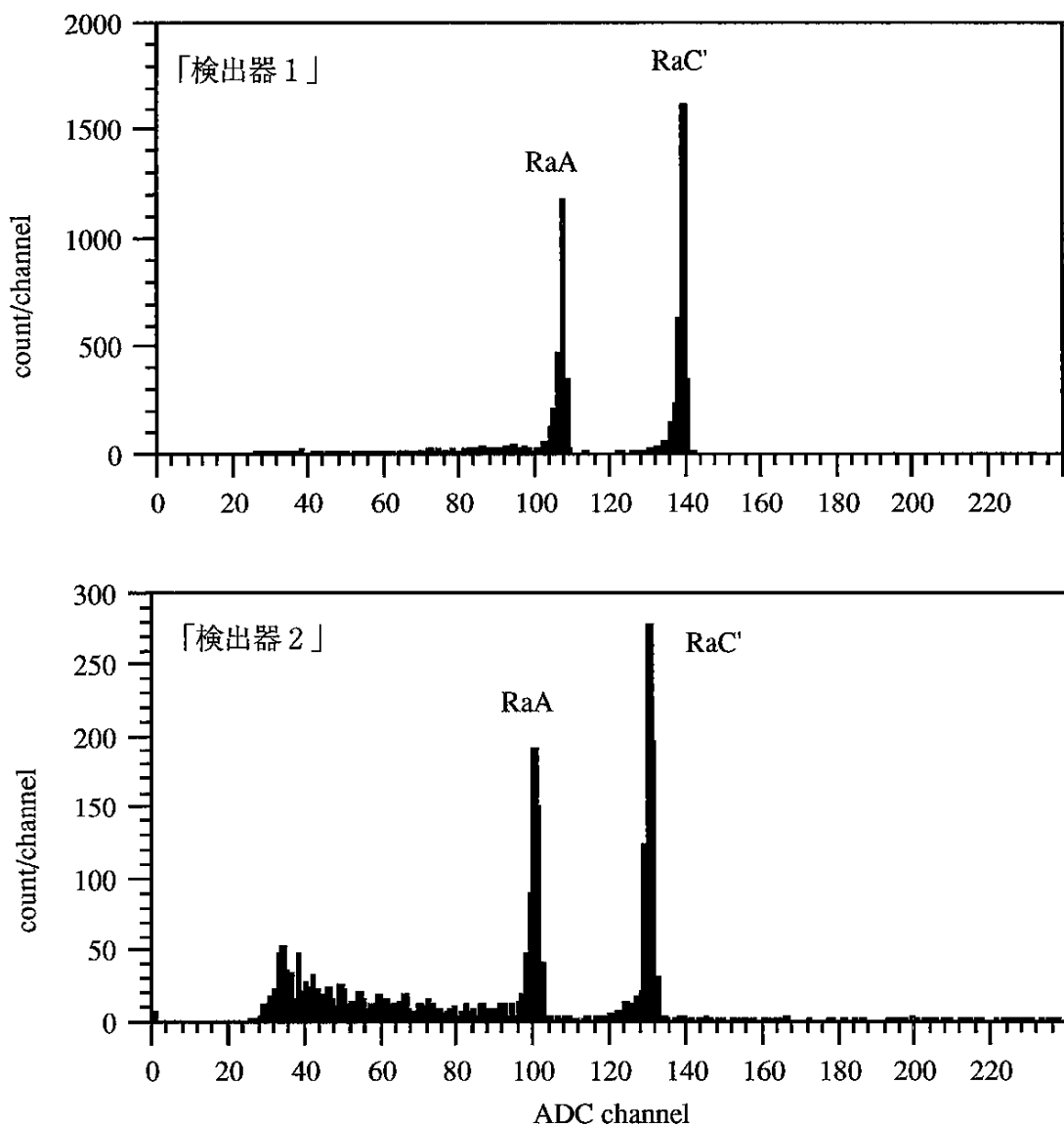
ラドン娘核種の放出する α 線のエネルギー値は、それぞれの α 壊変に固有のものであり、その信号の電圧に比例して決まったチャンネルにピークとして見ることができる。それぞれの娘核種によるピークが現われるチャンネルを測定し、あらかじめラドンデータロガー中のプログラムに設定しておくことにより娘核種の弁別をすることができる。

ここではウラン系列の ^{222}Rn の娘核種が放出する α 線のエネルギーを測定し、0 から 255 のチャンネルを、Ra0, Ra1, Ra2, Ra3, Ra4 の 5 個の数値で分割した。Ra0 から Ra1 までのカウント数を積算した数値がバックグラウンド、同様に Ra1 から Ra2, Ra2 から Ra3, Ra3 から Ra4 までの積算値をそれぞれのラドン娘核種によるカウント数 r_2, r_3, r_4 とする。ウラン系列では r_2, r_3 が RaA, RaC' の個数である。これらの値とラドン濃度校正係数からラドン濃度が求められてメモリーに記憶される。分割の数値は以下に示すような測定より決定した。

製作した 2 台の小型水中ラドン検出器「検出器 1」と「検出器 2」を岐阜大学の水道水中に沈めて、水中のラドン測定を行った。2 台の水中ラドン検出器は同一の水槽中に同じ水深 62 cm の所に沈めてあり、水温、水深共に同じ条件で測定を行っている。水槽には水道水が流れこみオーバーフローしている。水温は 18.5 ± 1.0 (°C) で多少変動し、流量は一定で約 14.3 (1/分) である。水槽の大きさは $80\text{cm} \times 120\text{cm} \times 94\text{cm}$ で 902 (l) である。水槽には水中ラドン検出器とともに水温センサーが入っている。前節で述べた「通信」モードの設定を用いて、10 分間ごとにカウント数の測定を行った。平成 8 年 12 月 10 日から 12 日までの期間で得られた電圧パルス分布より、Ra0, Ra1, Ra2, Ra3, Ra4 のチャンネル数値を決定した。

4・2 測定結果

第8図は小型水中ラドン検出器「検出器1」と「検出器2」による電圧パルス分布である。 α 線による2つのピークがみられる。これらのピークの左側の形は、PD表面の厚さ約2000ÅのSiO₂膜と、p層の不感帯のためである。左から順に、RaAの α 線(6.00MeV), RaC'の α 線(7.69MeV)によるものである。これは水中の²²²Rnを観測していることを確認するものである。



第8図 小型水中ラドン検出器「検出器1」と「検出器2」からの電圧パルス分布

4・3 ラドン濃度と校正係数

水中のラドン濃度を求めるには、ラドンデータロガーから得られる²²²Rnの娘核種による α 線のカウント数を何らかの方法で濃度に直さなければならない。その1つの方法として、液体シンチレーション法により求めたラドン濃度と、検出器のカウント数からラドン濃度校正係数を求める。今回はこの方法で、製作した小型水中ラドン検出器「検出器1」と「検出器2」の濃度校正係数を求めた。ただし、「検出器2」については2・3節で述べた焼結金属のサポート板の替わりに真鍮製の穴あき板（開口率47.9%）を用いた。液体シンチレーション法による水中ラドン濃度の測定については、動燃人形峰事業所安全管理課に測定を依頼した。

液体シンチレーション法による結果、平成8年12月14日11時に採水した岐阜大学の水道中のラドン濃度Qは

$$Q = 9.30 \pm 0.26 \text{ (Bq/l)}$$

であった。また、「検出器1」における平成8年12月13日から12月14日の平均カウント数C₁（平均水温16.8°C）と「検出器2」の12月11日の平均カウント数C₂（平均水温16.6°C）は、それぞれ

$$C_1 = 136.9 \pm 11.3 \text{ (RaC'/h)}$$

$$C_2 = 34.2 \pm 5.5 \text{ (RaC'/h)}$$

であった。「検出器2」については12月11日で実験を終了しているが、「検出器1」のカウント数は12月11日から12月14日の期間でほとんど変動がないので「検出器2」についても上記のQの値を用いることにした。これらの値からラドン濃度校正係数fを求めると

$$f_1 = C_1/Q = 14.7 \pm 1.3 \text{ [(RaC'/h) / (Bq/l)]} \quad \cdots \text{「検出器1」は焼結金属板使用}$$

$$f_2 = C_2/Q = 3.6 \pm 0.8 \text{ [(RaC'/h) / (Bq/l)]} \quad \cdots \text{「検出器2」は穴あき板使用}$$

となった。

5. 地下水中の原位置ラドン濃度測定

5・1 実験目的

動燃人形峠事業所では、平成6年度から7年度にかけて方面地区の土壤、地下水採取を行うとともに、放射能濃度の測定を行い、捨石からの放射性核種の影響範囲を推定するとともに研究課題の抽出を行った。その結果、平成8年度は土壤・岩石中および地下水中の放射性核種（特にラドン）を解析する装置・解析手法の研究を実施することになった。そのうち岐阜大学では、地下水中のラドンを測定する装置の開発を行うことになった。特に、年間数回の地下水サンプリングによる液体シンチレーション法にかわって、モニタリング試錐孔などでの原位置ラドン測定手法の開発を行うことを目的とする。

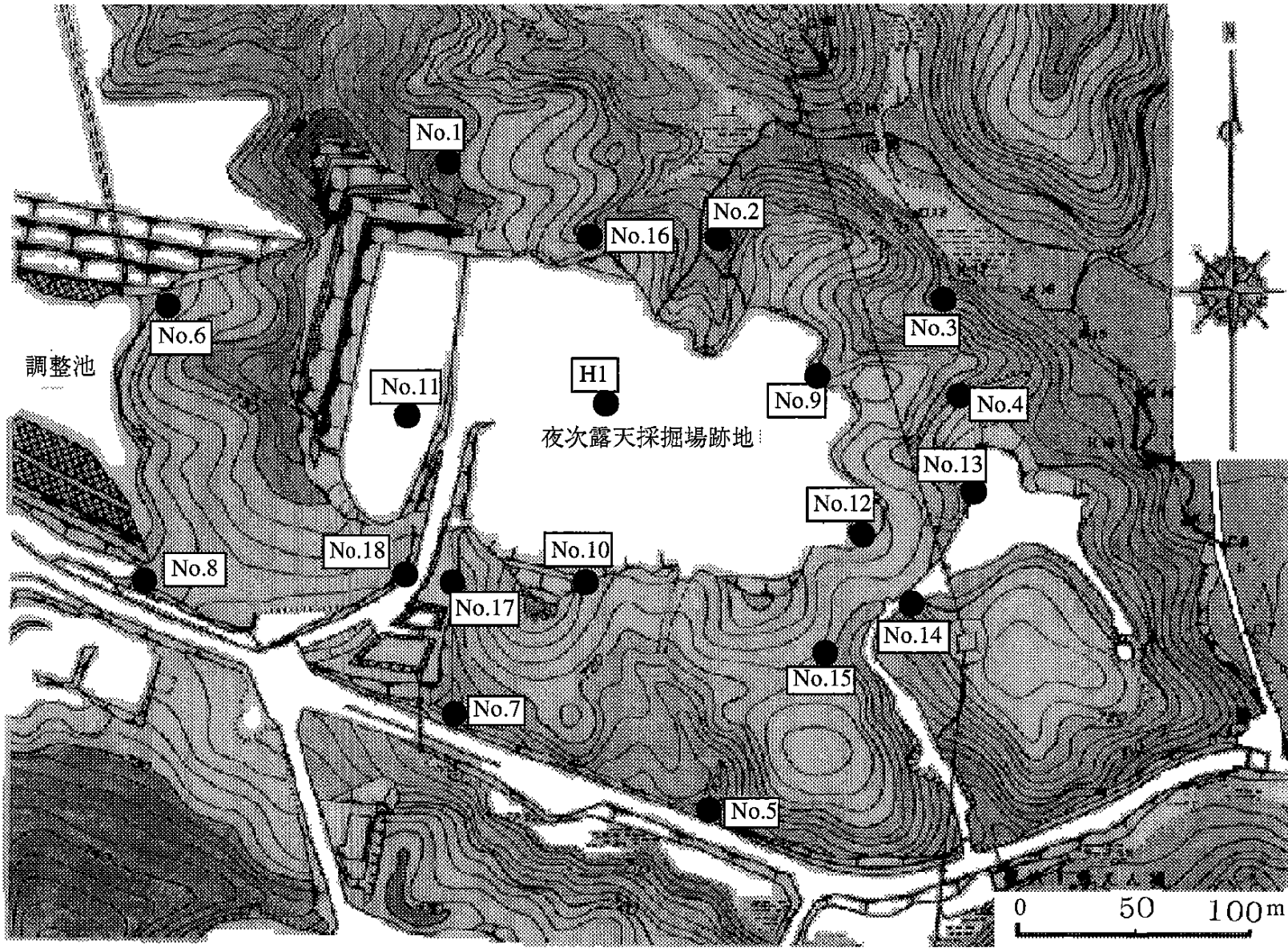
5・2 実験方法

（1）実験場所の決定

動燃人形峠事業所内には夜次露天採掘場跡地があり、この跡地の周辺には18本のモニタリング試錐孔がある。第9図は夜次露天採掘場跡地のモニタリング試錐孔の配置図である。図にはNo.1からNo.18までのモニタリング試錐孔の場所が記入しており、このうちNo.17とNo.18を今回の実験の実施地点に決定した。その理由は道路に近く積雪時のアクセスが容易なこと、すぐ近くに揚水ポンプの小屋があり、もしAC電源が必要なときは利用できることである。またNo.10のみ原位置水位測定を実施している。第5表には夜次露天採掘場跡地周辺のNo.10、No.18とNo.17のモニタリング試錐孔の概要を示す。この表の水位データは平成8年5月14日の測定値である。

孔名 番号	標高 (m)	孔径 (mm)	掘進長 (m)	塩ビ孔明管	水位 (m)	掘削年度
No.10	725.077	65	30	有り	5.56	昭和58年
No.18	720.502	75	10	有り	1.80	平成元年
No.17	719.976	75	25	有り	2.06	平成元年

第5表 夜次露天採掘場跡地周辺のNo.10、No.18、No.17 モニタリング試錐孔概要



第9図 動燃人形岐事業所内の夜次露天採掘場跡地試験孔配置図。

モニタリング試験孔No.17とNo.18で実験を実施

(2) 水中ラドン検出器の設置

岐阜大学で試験した2台の小型水中ラドン検出器を動燃人形峠事業所夜次露天採掘場跡地周辺の2ヵ所のNo.17とNo.18のモニタリング試錐孔の水深約1mに沈めて水中ラドン濃度についての観測を行った。2台の小型水中ラドン検出器は小型ラドンデータロガーに接続され、ラドンの娘核種が放出する α 線のカウント数を測定した。検出器設置当初の実験内容を第6表に示す。

「検出器1」は掘進長10mのNo.18のモニタリング試錐孔に設置した。その実験装置設置の概略図を第10図に示す。電源は自動車用バッテリー4個を並列接続して使用した。「検出器1」は平成8年12月17日から約8ヶ月経過して、現在も連続観測を継続中である。

「検出器2」は掘進長25mのNo.17のモニタリング試錐孔に設置した、その概略図を第11図に示す。この検出器は平成8年12月25日から平成9年1月29日までの36日間で観測を終了した。電源はAC電源を利用し、ACアダプターで直流電源12Vを小型ラドンデータロガーに供給した。「検出器1」、「検出器2」とともにサポート板として焼結金属板を用いた。

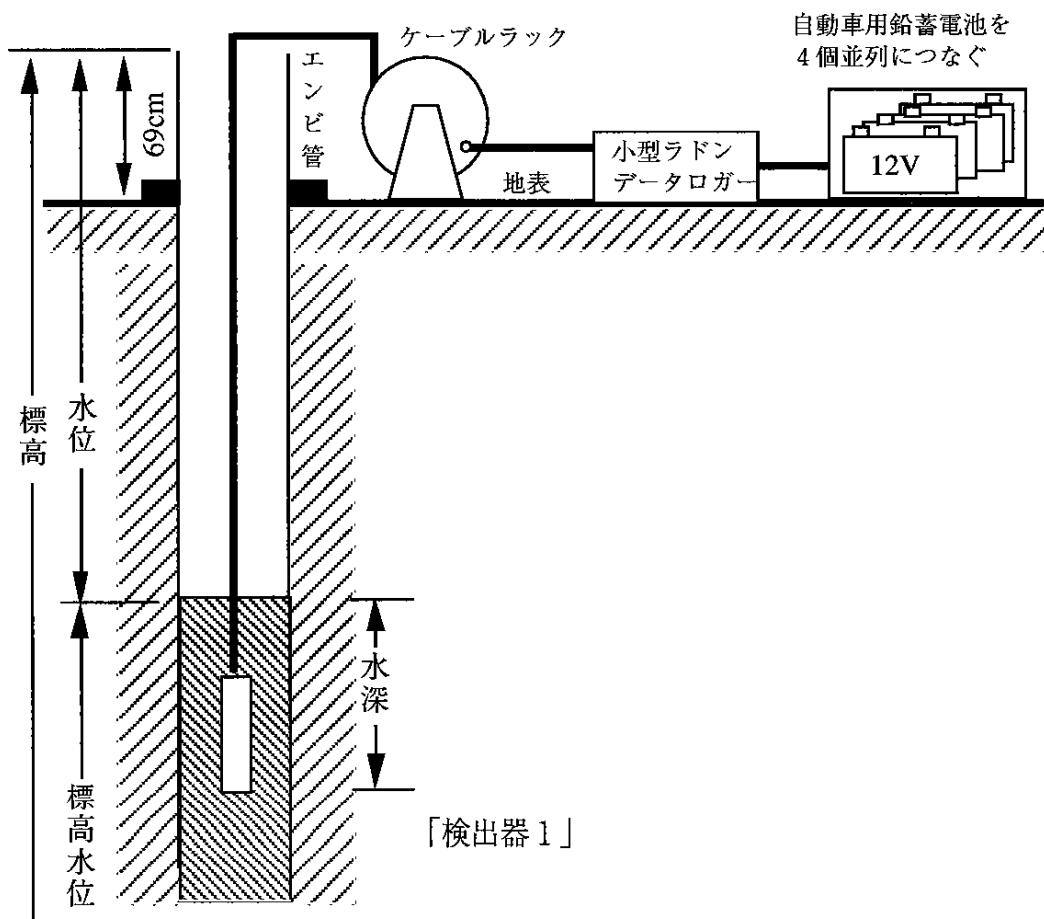
両方とも小型ラドンデータロガーのディップスイッチは011011000Bと設定した。これは測定時間インターバルは60分、自己解析モード、カウント数表示、ロータリースイッチの加算値「0」を意味する。

ここで水位は試錐孔から突き出ている塩ビ管のてっぺんから水面までの距離である。また、水深は試錐孔の水面から沈めた検出器の開口部までの距離である。

検出器番号	孔名番号	観測期間	計測システム	水位(m)	水深(m)
「検出器1」 セルガード 焼結金属板 使用	No.18	平成8年12月18日 ～平成9年8月1日 8ヶ月間 観測継続中	小型ラドン データロガー 自己解析モード 自動車用鉛蓄電池	1.68	1.00
「検出器2」 セルガード 焼結金属板 使用	No.17	平成8年12月25日 ～平成9年1月29日 36日間で 観測終了	小型ラドン データロガー 自己解析モード ACアダプター	1.93	1.00

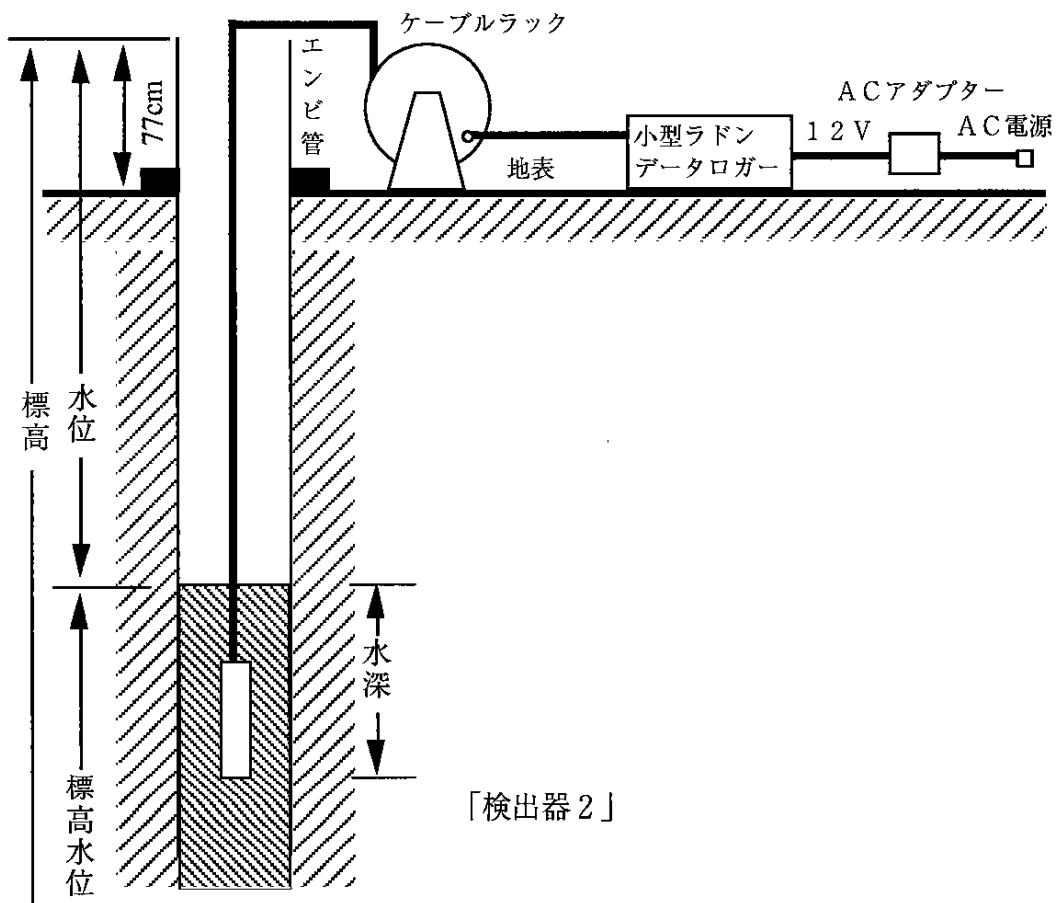
第6表 動燃人形峠事業所内での2台の小型水中ラドン検出器設置状況

モニタリング試錐孔
No.18



第10図 動燃人形峠事業所内のNo.18モニタリング試錐孔に沈めた「検出器1」
実験装置の設置概略

モニタリング試錐孔
No. 17



第11図 動燃人形峠事業所内のNo. 17 モニタリング試錐孔に沈めた「検出器 2」
実験装置の設置概略

(3) 実験データの取得

ラドン娘核種RaAとRaC'のカウント数データは、60日間は上書きなしで、ラドンデータロガーのメモリーに記憶されている。今までに平成9年1月30日、3月26日、5月27日、7月22日の合計4回、電源の自動車用バッテリー4個を交換し、約60日間の測定データをパソコンに転送した。

通常は1週間に1度、ロータリースイッチ、押しボタンスイッチ、液晶表示によって、午前8時、9時、10時のカウント数データを読み取った。これらのデータから水中ラドン検出器の動作を確認した。

5・3 実験結果

(1) ラドン娘核種RaC'のカウント数

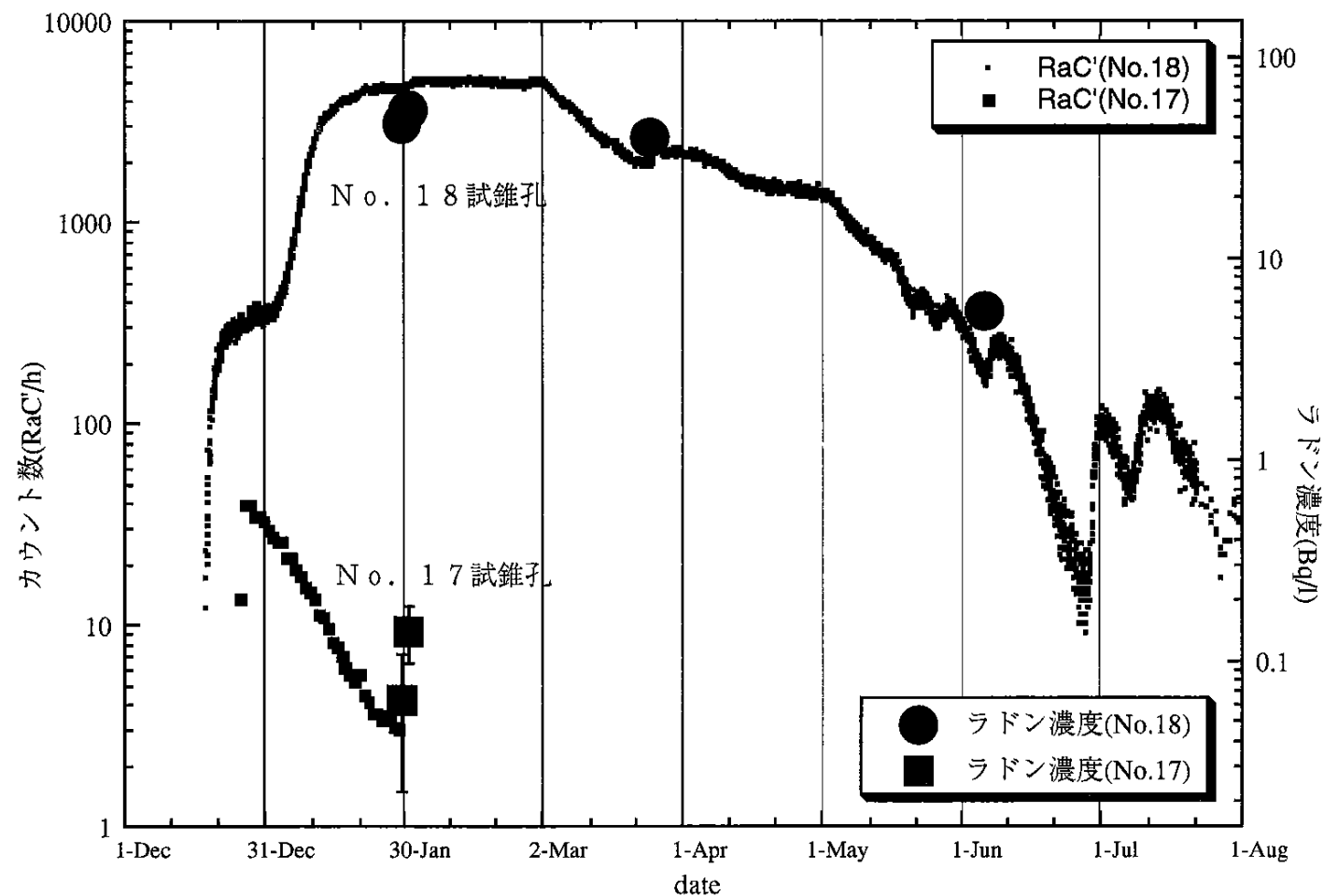
ラドン娘核種RaC'のカウント数の変動を第12図に示す。縦軸は1時間当たりのRaC'カウント数である。No.18モニタリング試錐孔水中ラドン検出器では平成8年12月18日から平成8年7月22日までの218日間について結果を示す。No.17モニタリング試錐孔では平成8年12月25日から平成9年1月29日までの36日間について示した。

(2) 液体シンチレーション法によるラドン濃度

No.18モニタリング試錐孔では平成9年1月30日、1月31日、3月25日、6月6日の4回、No.17モニタリング試錐孔では平成9年1月30日、1月31日の2回、水をサンプリングして持ち帰り、動燃人形峰事業所安全管理課に測定を依頼して、液体シンチレーション法で水中ラドン濃度を測定した。第7表は液体シンチレーション法の測定結果である。測定値を第12図にラドン娘核種RaC'のカウント数といっしょに図示した。

(3) 試錐孔水位・水温

No.18モニタリング試錐孔では平成8年12月17日、平成9年1月17日、1月30日、3月25日、4月21日、4月22日、4月23日、6月6日の合計8回、No.17モニタリング試錐孔では平成8年12月17日、平成9年1月17日、1月30



第12図 ラドン娘核種RaC'のカウント数の変動. No. 18 試錐孔では平成8年12月18日から218日間.
No. 17 試錐孔では平成8年12月25日から36日間. 大きな円は液体シンチレーション法の測定結果

日の3回、水位を測定し、水をサンプリングして水温を計った。水位は塩ビ管の上の端から水面までの距離である。第8表は水位・水温の測定結果である。No.10試錐孔では原位置水位連続測定している。平成8年12月1日から7月24日までの水位データを、No.18の9回の水位データといっしょに第13図に示した。

(4) 気象データ

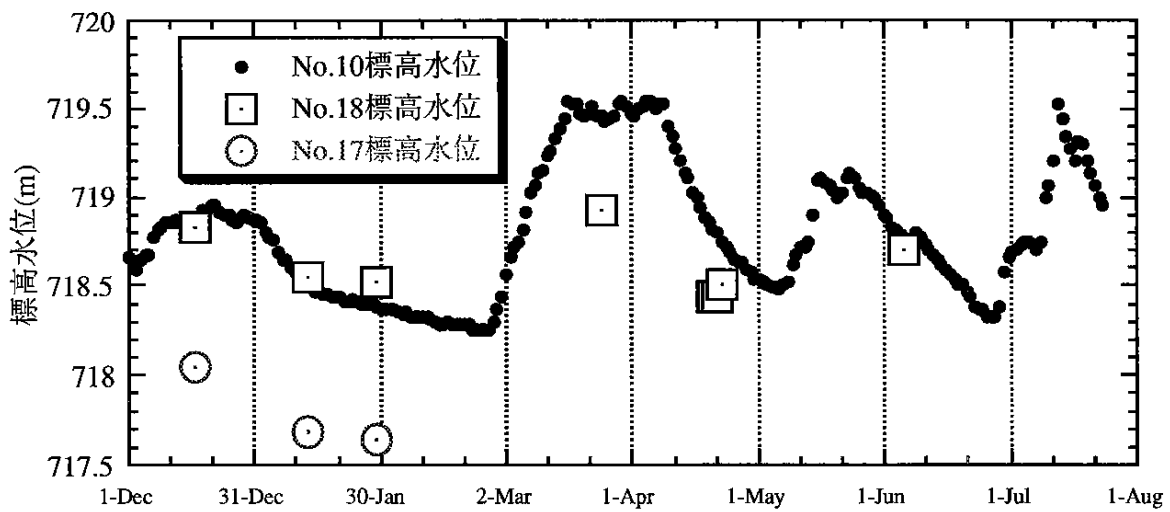
第14図は積雪・日雨量の気象データである。積雪は12月始めに若干あり、平成9年1月4日頃から積もり初めて、2月24日以降雪解けが始まり、3月26日に無くなっている。この間、日平均気温は1月2日から2月23日までほとんど0(℃)以下であった。また、日雨量は6月28日に142(mm)、7月7日から7月13日の1週間に合計316(mm)を記録した。

液体シンチレーション法 測定日	30-Jan -1997	31-Jan -1997	25-Mar -1997	6-Jun -1997
ラドン濃度 (Bq/l) No.18試錐孔	46 ±0.47	54 ±0.49	40 ±0.44	5.40 ±0.17
ラドン濃度 (Bq/l) No.17試錐孔	0.060 ±0.042	0.140 ±0.044		

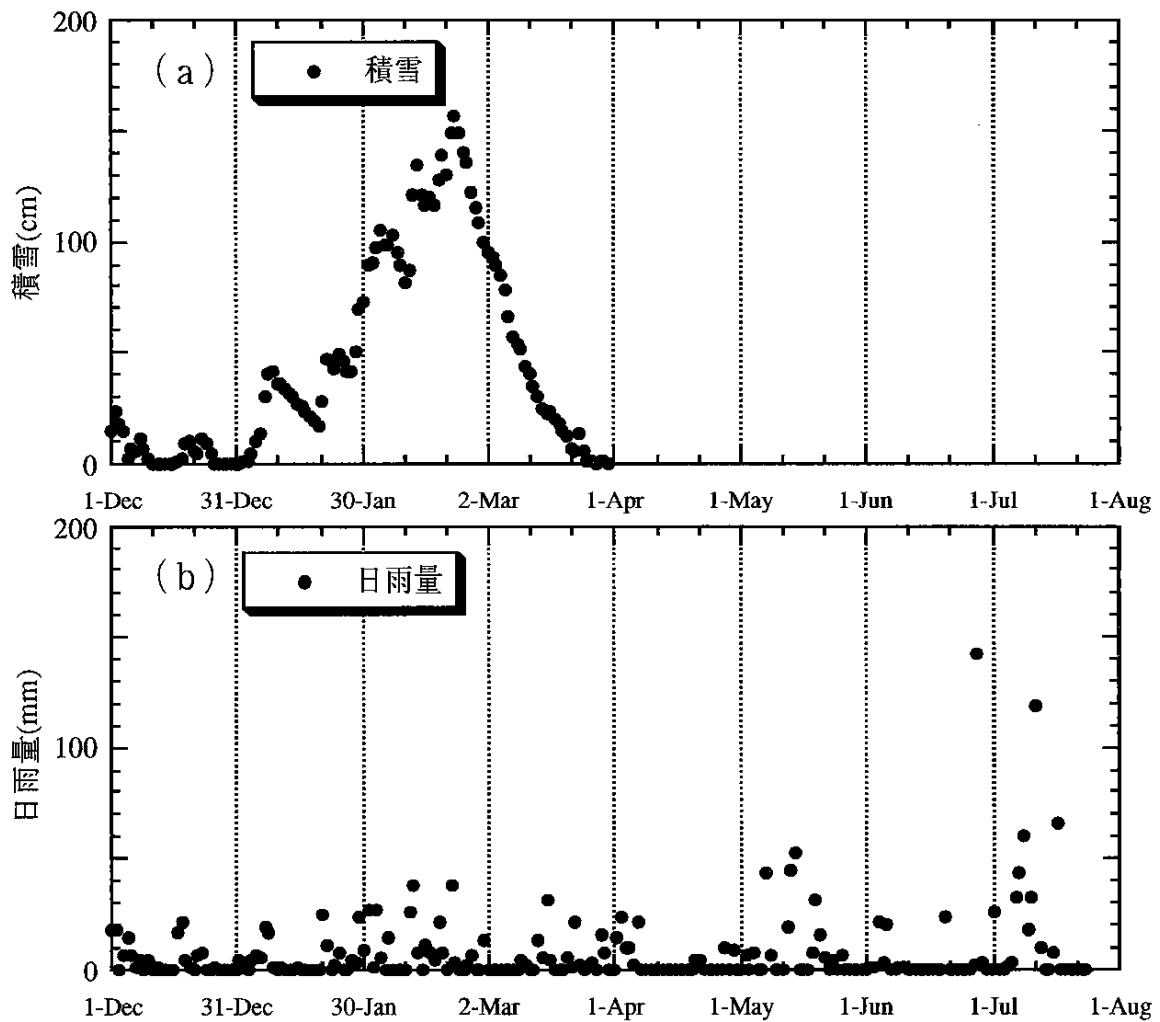
第7表 動燃人形峠事業所内のNo.18, No.17試錐孔液体シンチレーション法
水中ラドン濃度測定結果

測定日 試錐孔名	17-Dec -1996	17-Jan -1997	30-Jan -1997	25-Mar -1997	21-Apr -1997	22-Apr -1997	23-Apr -1997	6-Jun -1997
水位(m)	1.68	1.96	1.98	1.57	2.06	2.06	2.00	1.80
水温(℃) No.18			6.6	7.1	8.3	8.3	8.4	12.3
水位(m)	1.93	2.30	2.34					
水温(℃) No.17	11.2		7.2					

第8表 動燃人形峠事業所内のNo.18, No.17試錐孔における
水位・水温の測定結果



第13図 動燃人形峠事業所内のNo.10, No.18, No.17試錐孔標高水位測定結果



第14図 動燃人形峠事業所における(a)積雪、(b)日雨量の気象データ

5・4 実験データの解析

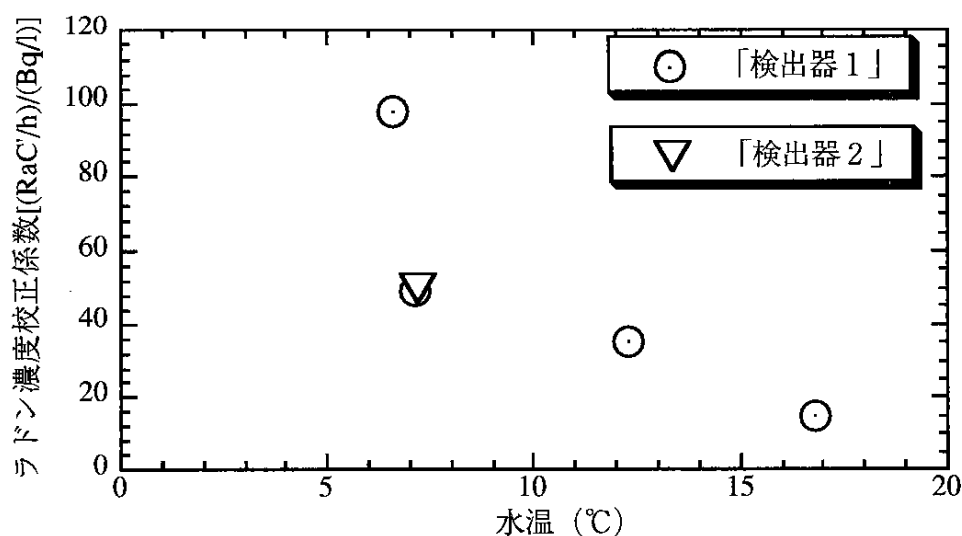
(1) 水中ラドン検出器のラドン濃度校正

No. 18 モニタリング試錐孔では平成9年1月30日, 1月31日, 3月25日, 6月6日の4回, No. 17 モニタリング試錐孔では平成9年1月30日, 1月31日の2回水をサンプリングして, 動燃人形崎事業所安全管理課に依頼して, 液体シンチレーション法で水中ラドン濃度を測定した. 第9表はNo. 18 モニタリング試錐孔に沈めた「検出器1」のラドン濃度校正係数 $[(RaC'/h) / (Bq/l)]$ の測定結果である. 右端の列だけは岐阜大学の水道水での測定結果である. この表で1月31日の水温は測定していない. 「検出器2」のラドン濃度校正係数については, 1月30日の測定のみである. 岐阜大学での測定結果はサポート板として真鍮の穴あき板を用いたので参考データとした.

第15図にはラドン濃度校正係数と水温の相関を示す. 「検出器1」では4点, 「検出器

液体シンチレーション法 測定日	30-Jan -1997	31-Jan -1997	25-Mar -1997	6-Jun -1997	14-Dec -1996
ラドン濃度 (Bq/l)	46±0.47	54±0.49	40±0.44	5.40±0.17	9.30±0.26
カウント数(RaC'/h)	4486	4761	1972	187	137
水温(°C)	6.6		7.1	12.3	16.8
ラドン濃度校正係数 [(RaC'/h)/(Bq/l)]	98	88	49	35	15

第9表 No. 18 モニタリング試錐孔に沈めた「検出器1」のラドン濃度校正係数



第15図 ラドン濃度校正係数と水温の相関関係図

2」では1点のみである。1月30日の測定点では2台の検出器の測定結果は誤差の範囲内で一致した。水温が6.6から16.8(℃)に上昇したとき、校正係数は98から15[(RaC'/h)/(Bq/l)]に減少している。このことは水中ラドン検出器の検出効率は水温に依存することを意味している。

今後の課題として、より広い水温範囲での精密な校正実験を実施することが必要である。また、今回の実験ではNo.18モニタリング試錐孔での水温は連続測定を行っていない。カウント数から正確な水中ラドン濃度を求めるためには、ラドン検出器とともに水温センサーによる水温の原位置連続測定が必要不可欠である。そのためには、ラドンデータロガーに水温・水位などの環境要素を測定するためのA/D変換器を増設する改良を行わなければならない。

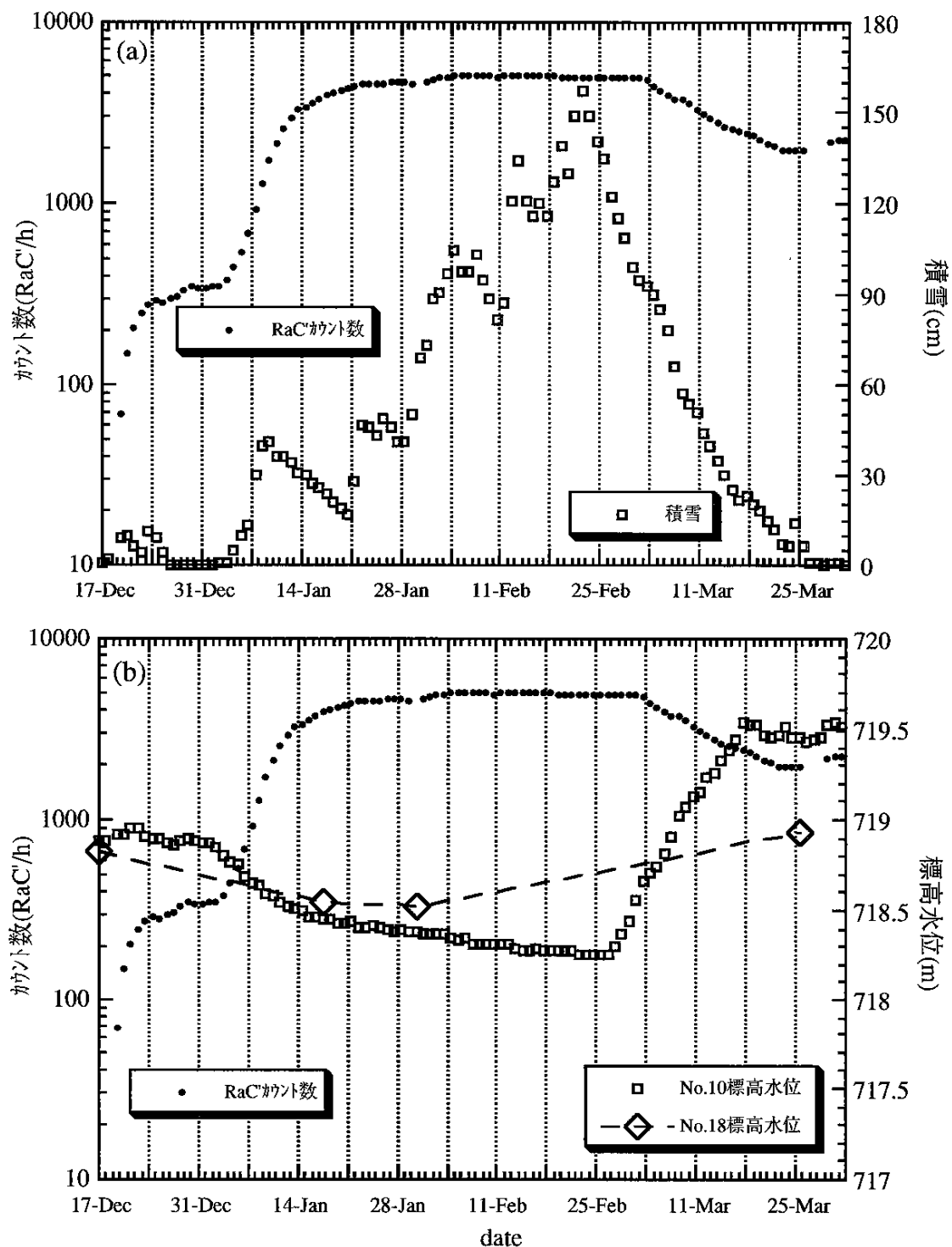
(2) 冠雪・融雪・標高水位と水中ラドン濃度の関係

(観測期間平成8年12月17日から平成9年3月31日)

本研究では水温の原位置連続測定データがないので、カウント数から正確な水中ラドン濃度に直せない。この節ではNo.18試錐孔のラドン娘核種RaC'のカウント数と冠雪・融雪の関係を調べることにする。実験期間内では平成9年1月4日に初冠雪があり、2月22日まで積雪がどんどん増加して最大157(cm)となり、それ以降融雪が始まり、3月28日頃には完全に雪が溶けて無くなっている。No.18試錐孔の標高水位はこの期間で4回測定され、またNo.10試錐孔では原位置連続測定が行われた。前述した第5表と第9図から、No.18とNo.10試錐孔は標高差4.58(m)で、約78(m)離れている。No.18とNo.17は標高差0.53(m)で、約20(m)離れている。No.10, No.18, No.17試錐孔の掘進長はそれぞれ30, 10, 25(m)である。

第16(a)図はRaC'のカウント数と積雪の相関図であり、第16(b)図はRaC'のカウント数とNo.10, No.18試錐孔標高水位の相関図である。第16(a)図からわかるように1月4日の初冠雪とともにカウント数は急に増加を初めて約12倍になって、1月21日から3月2日の約6週間にわたってカウント数はほぼ4500から5000(RaC/h)で安定している。2月23日の融雪開始後は、3月3日頃から急激にカウント数は減少している。

第16(b)図でNo.18試錐孔標高水位については、残念ながら1月30日から3



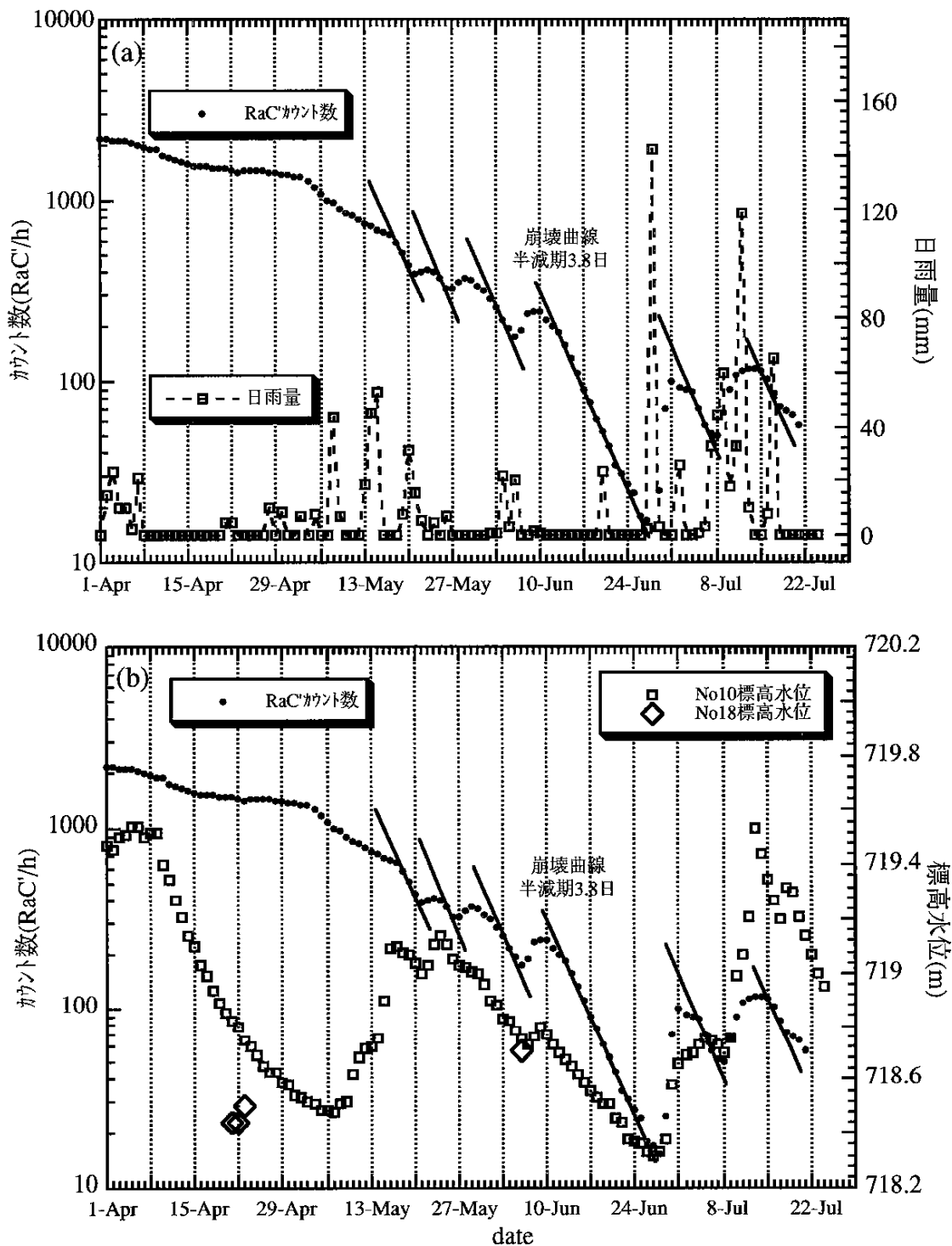
第16図 平成8年12月17日から平成9年3月31日の観測期間における、No. 18試錐孔のラドン娘核種RaC' カウント数と
(a) 積雪、(b) 標高水位の相関図。

月25日の期間内の水位データが無いので、観測期間内の4点の測定点を直線で結んだ。この図でNo. 18とNo. 10の両試錐孔の標高水位データを比較すると、非常に興味あることは、平成9年1月14日頃から3月2日の約7週間にわたって、No. 18試錐孔標高水位がNo. 10試錐孔標高水位を最大0.5(m)くらい上回っていると推定されることである。前述の第13図から見ても、平成8年12月から平成9年8月の全観測期間内でも、この7週間のみこのような逆転現象が生じていると思われる。この期間はRaC'のカウント数が4500から5000(RaC'/h)で安定して、ラドン濃度が約50(Bq/l)の高い濃度レベルの時期にも重なっている。3月2日以降融雪と水位上昇にともなって、RaC'のカウント数は減少を始めている。

一方、No. 17試錐孔のRaC'のカウント数は第12図からわかるように1月4日の初冠雪とともにカウント数は急に減少を初めて約10分の1と低下し、1月30日のラドン濃度は約0.06(Bq/l)の低い濃度レベルとなっている。第13図より、平成9年1月の期間、No. 17とNo. 10の標高水位を比較すると、水位差約0.85(m)を保つたままである。このことはNo. 18試錐孔と比べて、ラドン濃度、標高水位ともに非常に対照的である。

約20mしか離れていないNo. 18とNo. 17試錐孔のラドン濃度、標高水位が積雪にともなって、このように異なった時系列データの変化の様子を示している原因はどこにあるのであろうか。No. 18試錐孔の掘進長は10(m)で、No. 17とNo. 10の25(m), 30(m)と比較して浅いことが原因かもしれない。平成8年度夜次露天採掘場跡地の真ん中に地質調査のために掘進長30(m)のH1試錐孔を新たにボーリングした。このH1試錐孔の柱状図を見ると、深度-30(m)から-7.7(m)までは基盤となる花崗岩であり、-7.7(m)から-2.9(m)までに黄色状の捨石鉱石があり、特に花崗岩との境界面の深度-7.7(m)から-7.8(m)に花崗岩層の約2.5倍の表面線量率0.26(μGy/h)の粘土状沈殿層があることがわかっている。

以上のことからNo. 18試錐孔では、積雪によって、平成9年1月14日頃から3月2日の約7週間にわたり、動水勾配および地下水流动の様子が大きく変化して、深度-5(m)から-8(m)近傍のラドン源が水中ラドン濃度の増加に影響した可能性があるであろう。



第17図 平成9年4月1日から平成9年7月21日の観測期間における、No. 18試錐孔のラドン娘核種RaC' カウント数と
(a) 日雨量、(b) 標高水位の相関図。

(3) 日雨量・標高水位と水中ラドン濃度の関係

(観測期間平成9年4月1日から平成9年7月21日)

この観測期間の特徴は連続したRaC'のカウント数の減衰と、降雨による一時的なカウント数の増加である。第17(a)図はRaC'のカウント数と日雨量の相関図であり、第17(b)図はRaC'のカウント数とNo.10, No.18試錐孔標高水位の相関図である。

これらの図でカウント数データに沿って書き入れた6本の直線は、半減期3.8日のラドンの崩壊曲線である。特に平成9年6月12日から6月28日の期間はほとんど雨量もなく、RaC'のカウント数の減衰は ^{222}Rn の崩壊曲線に非常に良く一致した。この事実は水中ラドン検出器が確実にラドンを捉えていることを証明するものである。またこの時期は雨量が無い限り、新たにラドンを供給する要因が無いことを意味する。

第17(a)図で平成9年5月21日、5月27日、6月6日、6月28日、7月8日の5点のカウント数の増加が観測されている。必ずこれらの日付の当日か前日に降雨が記録されている。これら5点以外の5月8日、5月14日、7月17日の3点の降雨時については明確なカウント数の増加は見られないが、カウント数の減衰率の低下があり、今後詳しい解析とより多くのデータを集める必要があるであろう。

第17(b)図では、2点のNo.18試錐孔標高水位はNo.10より低い。また(a)図の降雨にともなってNo.10試錐孔標高水位が高くなっていることがわかる。5月21日、5月27日、6月6日、6月28日、7月8日の5点のカウント数の増加時期にともなって、No.10試錐孔標高水位が高くなっていることもわかる。

代表点として6月28日について降雨量によるラドン濃度増加率を求める。6月28日のカウント数は極小値15.5 (RaC/h) を示し、降雨量は前後3日間で147.5 (mm) を記録した。カウント数は急に増加して7月1日に極大値99.1 (RaC/h) を示した。これらの値から降雨量によるラドン濃度増加率は約16 [(Bq/m³) /mm] となる。この計算では第9表のラドン濃度校正係数35 [(RaC/h) / (Bq/l)] を用いた。7月8日についても同様な方法で計算してみると、降雨量によるラドン濃度増加率は約14 [(Bq/m³) /mm] となった。

6. まとめと今後の課題

6・1 まとめ

地下水中のラドンの挙動解析をするために、地下水中の原位置ラドン測定装置の開発とその実用試験を行った。本測定装置は水中ラドン検出部とデータロガー部から構成されている。検出部は直径 60 mm, 長さ 300 mm で、深さ数 10 m の試錐孔に直接投入することができ、ラドンガスは開口部に装着されている機能性ガス分離膜を通過して検出部に導入され、PIN フォトダイオードを用いてラドン娘核種を静電捕集法で検出する。またラドンデータロガー部は商用交流電源のない屋外でも、自動車用鉛蓄電池 4 個で約 60 日間の連続観測ができる、観測終了後は押しボタンスイッチでパソコンにラドンデータを転送することができる。

本装置の実用試験が、平成 8 年 12 月 18 日から動燃人形峠事業所内の夜次露天採堀場跡地の No. 17 と No. 18 試錐孔を用いて実施された。No. 17 は平成 9 年 1 月 31 日で終了して、No. 18 は約 8 ヶ月間にわたり現在も継続されている。

また同時に No. 18 モニタリング試錐孔では 4 回、No. 17 モニタリング試錐孔では 2 回、水をサンプリングして、動燃人形峠事業所安全管理課に測定を依頼して、液体シンチレーション法で水中ラドン濃度を測定した。

No. 18 モニタリング試錐孔では合計 8 回、No. 17 モニタリング試錐孔では 3 回、水位を測定し、水をサンプリングして水温を計った。No. 10 試錐孔では以前から原位置水位連続測定を実施しているので、そのデータを使用した。

これらの観測データから次の（1）と（2）の観測事実が判明した。

- (1) 平成 8 年 12 月 17 日から平成 9 年 3 月 31 日の観測期間では冠雪と雪解けによる水中ラドン濃度の変動が顕著である。約 20 m 離れた No. 18 と No. 17 試錐孔の、冠雪による水中ラドン濃度の変化の様子は大きく異なることが判明した。No. 18 試錐孔では水中ラドン濃度は約 10 倍の 50 (Bq/l) に急激に増加し、No. 17 試錐孔では水中ラドン濃度は約 10 分の 1 の 0.06 (Bq/l) に大きく減少した。
- (2) 平成 9 年 4 月 1 日から平成 9 年 7 月 21 日の観測期間では水中ラドン濃度は ^{222}Rn の崩壊曲線に従って減衰する時期と、降雨によって急に増加する時期が繰り返し観測された。No. 18 試錐孔においては、降雨による水中ラドン濃

度のはっきりした増加が5例観測された。そのうち、平成9年6月28日と7月8日の降雨において、日雨量によるラドン濃度増加率を求めてみると、約15 [(Bq/m³) /mm] と測定された。

6・2 今後の課題

開発された地下水中原位置ラドン測定装置は、動燃人形峠事業所夜次露天採掘場跡地内のNo.18試錐孔の水深約1mに設置され、約8カ月の実用試験で、ラドンの水中での挙動解析に対する十分な成果を提供することが実証された。

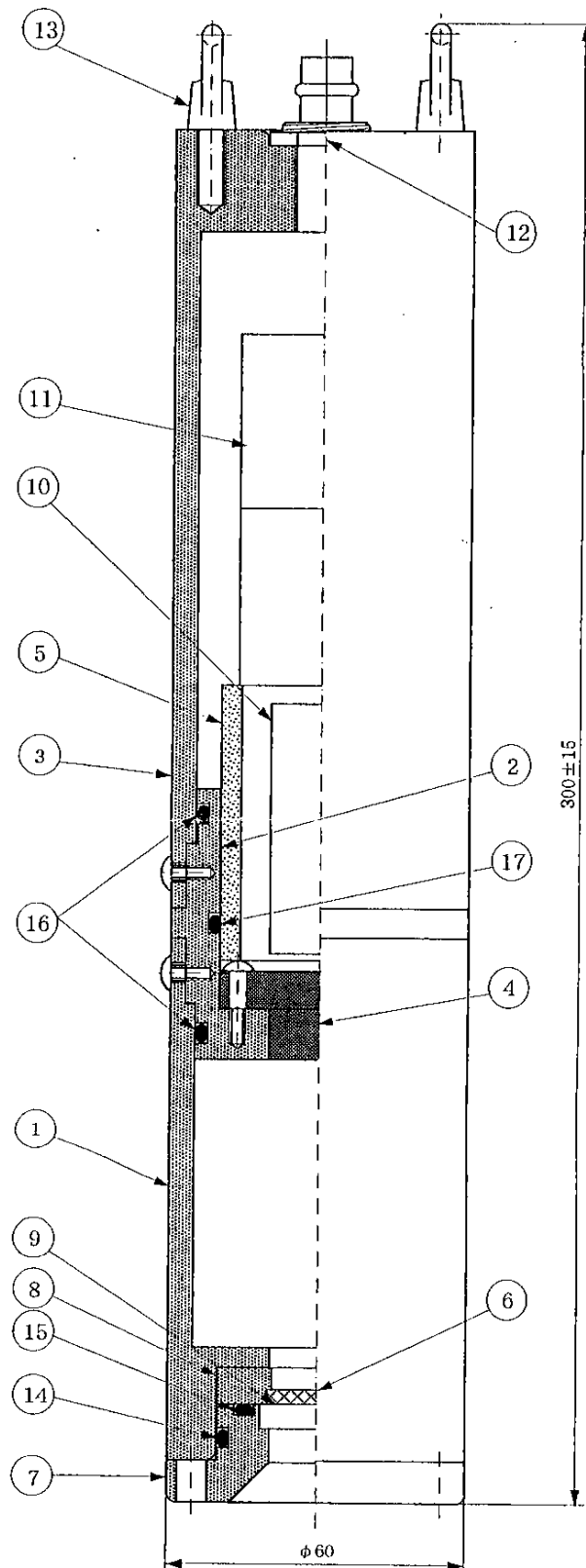
今回の実用試験で明らかになり、今後さらに詳しく観測したり、測定装置の改良を行う必要がある点は次の1), 2), 3)の項目である。

- 1) 本装置を夜次露天採掘場跡地の既設の18本の試錐孔に順次設置して、本格的な水中ラドン挙動解析と地下水水流動解析を目的とした連続観測を実施することが望まれる。
- 2) 水中ラドン検出器の検出効率の水温依存性について、より広い水温範囲で精密な校正実験を実施することが必要である。
- 3) モニタリング試錐孔には水中ラドン検出器と同時に、水温計、水位計を設置することが重要であり、そのためにはラドンデータロガーに水温・水位などを測定するためのA/D変換器を増設することが必要であろう。

7. 引用文献

- Igarashi,G., Saeki,S., Takahata, N., Sumikawa,K., Tasaka,S., Sasakai,Y., Takahashi,M. and Sano,Y.: Ground water radon anomaly before the Kobe Eearthquake in Japan, Science, 269,60-61(1995)
- Pereira,B. et al. : ^{222}Rn in the Antarctic Peninsula during 1986, Rad. Prot. Dosimetry, 24, 85-88(1988)
- Wakita,H., Nakamura,Y., Notsu,K., Noguchi,M. and Asada,T. : Radon anomaly: A possible precursor of the 1978 Izu-Oshima-kinkai earthquake, Science, 207, 882-883(1980)
- 小前隆美:ラドンの水循環解析への応用, Radioisotopes, 44, 715-724(1995)
- 黒澤龍平:住居環境中のラドン濃度の測定, Radioisotopes, 40, 373-382(1991)
- 田阪茂樹, 佐々木嘉三:岐阜県神岡鉱山における地下水中的ラドン濃度の観測(1), 地震, 第2輯, 45, 1-9(1992)
- 田阪茂樹, 佐々木嘉三, 岡澤裕子, 中川雅人:水中のラドン検出器の開発, Radioisotopes, 43, 125-133(1994)
- 田阪茂樹, 佐々木嘉三:小型ラドンデータロガーの開発, Radioisotopes, 45, 741-752(1996)
- 根本真智子, 田阪茂樹, 堀秀充, 奥村公宏, 梶田隆章, 竹内康雄:静電捕集型超高感度空気用ラドン検出器の開発, Radioisotopes, 46, 710-719(1997)
- 古田定昭:人形峠周辺における水中ラドン濃度, 「天然水中ラドン」専門研究会報告書(1996年12月12日-13日), 編集:福井正美, 堀内公子, 京都大学原子炉実験所 KUR REPORT(KURRI-KR-6), 37-42(1997)

添付書類
原位置水中ラドン検出器の設計図



番号	名 称	個数	材質
17	Oリング G-40	1	バイトン
16	Oリング G-45	2	バイトン
15	Oリング G-25	1	バイトン
14	Oリング G-35	1	バイトン
13	アイボルトM6	2	SUS
12	水中コネクタ	1	
11	積層形乾電池 120V	1	,
10	ラドンセンサアンプ	1	
9	防水フィルム	1	ポリプロピレン
8	フィルタ押さえ	1	Bs
7	フタ	1	Bs
6	焼結金属フィルタ	1	SUS
5	アンプカバー	1	スチール
4	センサホルダ	1	セミック
3	本体c	1	Bs
2	本体b	1	Bs
1	本体a	1	Bs

機械名	ラドン計	図名	総体図	図番	1996年3月11日
					全葉中第葉